

# Basefold 笔记：IOPP

## Proof of Proximity

下面我们给出利用 Foldable code 来实现 IOPP 的证明。

假设有一个 MLE 多项式  $\tilde{f}(\mathbf{X})$  表示如下：

$$\tilde{f}(X_0, X_1, \dots, X_{d-1}) = f_0 + f_1 X_0 + f_2 X_1 + f_3 X_0 X_1 + \dots + f_{2^d-1} X_{d-1} \quad (1)$$

由于  $\tilde{f}(X)$  是一个多元多项式（Multivariate Polynomial），总共有  $d - 1$  个未知数，那么它的系数向量长度为  $2^d$ 。记住这里我们选择 Lexicographic Order 作为多项式的排序方式。

我们对  $\tilde{f}(\mathbf{X})$  的系数向量  $\mathbf{f}$  进行编码，得到 codeword  $\mathbf{c}_f = \text{Enc}(\mathbf{f})$ ，长度为  $n_d$ 。然后使用 Hash-based Merkle Tree 产生承诺：


$$\mathbf{cm}(\mathbf{f}) = \text{Merkelize}(\text{Enc}(f_0, f_1, f_2, \dots, f_{2^d-1})) \quad (2)$$

与 FRI 协议类似，Basefold-IOPP 协议用来证明一个承诺  $\pi_d = \mathbf{cm}(\mathbf{f})$  是一个极大概率「接近」于  $C_d$  编码的向量，因此这个协议被称为 Proof of Proximity。这个协议是构造 Evaluation Argument 的核心协议之一。

Proof of Proximity 利用了线性编码的一个神奇性质：「Proximity Gap」，即如果两个向量  $\pi, \pi'$  如果远离合法的 codeword space，那么它们的随机线性组合  $\pi + \alpha \cdot \pi'$  要么极小概率变合法，要么继续远离合法的 codeword space：

$$\begin{cases} \Delta(\pi_i, C_i) = 0 & \text{(with negligible probability)} \\ \Delta(\pi_i, C_i) \leq \Delta(\pi_{i+1}, C_{i+1}) & \text{(with non-negligible probability)} \end{cases} \quad (3)$$

这就说明了对 codeword 的折叠过程不会破坏向量与合法 codeword space 之间的距离，这个把向量折叠到足够小之后，Verifier 可以用极小的代码来验证折叠最后产生的向量是否是合法 codeword，从而可以得知原始向量是否是合法 codeword。

 **Notes on Proximity Gap** Proof of Proximity 利用了线性编码的一个神奇性质：「Proximity Gap」，即对两个向量  $\pi, \pi'$  用随机数  $\alpha \in \mathbb{F}$  进行折叠得到一个集合  $A = \{\pi + \alpha \cdot \pi' : \alpha \in \mathbb{F}\}$ ，不同的  $\alpha$  就对应集合  $A$  中不同的元素，那么「Proximity Gap」结论告诉我们这个集合中的元素要么都距离合法的 codeword space  $C_i$  很近，要么只有极小极小部分元素距离合法的 codeword space  $C_i$  比较近，大部分的元素都距离  $C_i$  有  $\delta$  那么远。用概率表示即为

$$\Pr_{a \in A} [\Delta(a, C_i) \leq \delta] = \begin{cases} \epsilon & \text{(small enough)} \\ 1 \end{cases} \quad (4)$$

这样对于 Verifier 来说就可以大胆用随机数  $\alpha$  来进行折叠了，因为哪怕 Prover 给到的两个向量  $\pi, \pi'$  中只有一个向量距离  $C_i$  有  $\delta$  那么远，用随机数折完之后结果距离  $C_i$  变得比较近的概率只有  $\epsilon$  那么小，换句话说，作弊的 Prover 想要逃脱 Verifier 的火眼金睛需要像中彩票那么幸运才行。这样如果开始想作弊的 Prover 选的  $\pi_d$  距离合法的 codeword space 比较远，Verifier 选取一系列随机数让 Prover 不断去折叠，直到最后得到  $\pi_0$ ，这个过程中有足够大的概率不会让  $\pi_0$  变得离合法的 codeword space 比较近，这样 Verifier 在最后就能检查出 Prover 作弊了。「Proximity Gap」结论带给了 Verifier 一个极大的好处，那就是每次不用去验证  $A = \{\pi + \alpha \cdot \pi' : \alpha \in \mathbb{F}\}$  这个集合中所有的元素是否距离合法的编码空间比较近了，Verifier 只需要随机选择其中的一个点进行验证就行了，这大大减少了 Verifier 的计算量。

Proof of Proximity 协议分为两个阶段：Commit-phase 和 Query-phase。前者的子协议是完成 codeword 的多次折叠过程，并产生每一次折叠后的 codeword 的承诺（或称为 Oracle）；后者 Query-phase 是 Verifier 通过随机抽样来验证每一次的折叠过程是否合法。

## Commit-phase

下面先解释下 Commit-phase。Prover 通过多次折叠编码  $\pi_d$ （其长度为  $n_d$ ），分别得到长度为  $n_{d-1}, \dots, n_0$  的 codeword，分别记为  $(\pi_{d-1}, \pi_{d-2}, \dots, \pi_0)$ ，然后把它们发送给 Verifier。记住这是一个交互式协议，总共有  $d$  轮交互。每一轮交互中（假设第  $i$  轮， $0 \leq i < d$ ），Prover 根据 Verifier 发送的随机数  $\alpha_i$  对  $\pi_{i+1}$  的折叠，得到一个新的 codeword，记为  $\pi_i$ ，经过  $d$  轮之后，Prover 得到一个长度为  $n_0$  的 codeword，记为  $\pi_0$ 。Prover 把  $(\pi_d, \dots, \pi_0)$  分别进行承诺，然后把  $\mathbf{cm}(\pi_d), \dots, \mathbf{cm}(\pi_0)$  作为 IOPP. Commit 输出的结果。

下面我们分析下单次折叠  $\pi_i$  的技术细节。假设  $\pi_i \in C_i$  是一个合法的 codeword（即满足  $\pi_i = \mathbf{m}G_i$ ），长度为  $n_i$ ：

$$\pi_i = (c_0, c_1, c_2, \dots, c_{n_i-1}) \quad (5)$$

我们把这个向量从中间拆分为两部分，上下叠放在一起：

$$\begin{pmatrix} c_0, & c_1, & \dots, & c_{n_{i-1}-1} \\ c_{n_{i-1}}, & c_{n_{i-1}+1}, & \dots, & c_{n_i-1} \end{pmatrix} \quad (6)$$

这时需要 Verifier 提供一个随机数  $\alpha^{(i)}$ ，我们把上面的两排向量进行随机线性组合，换个说法就是折叠：

$$\pi_{i-1} = (\text{fold}_{\alpha_i}(c_0, c_{n_{i-1}}), \text{fold}_{\alpha_i}(c_1, c_{n_{i-1}+1}), \dots, \text{fold}_{\alpha_i}(c_{n_{i-1}}, c_{n_i-1})) \quad (7)$$

上面即为折叠后的向量  $\pi_{i-1}$ ，假设 Prover 诚实的情况下，折叠后的向量应该是一个合法的  $C_{i-1}$  codeword。上面等式中的  $\text{fold}_{\alpha_i}$  函数定义如下：

$$\text{fold}_{\alpha}(c_j, c_{n_{i-1}+j}) = \frac{t_j \cdot c_{n_{i-1}+j} - t'_j \cdot c_j}{t_j + t'_j} + \alpha \cdot \frac{(c_j - c_{n_{i-1}+j})}{t_j - t'_j} \quad (8)$$

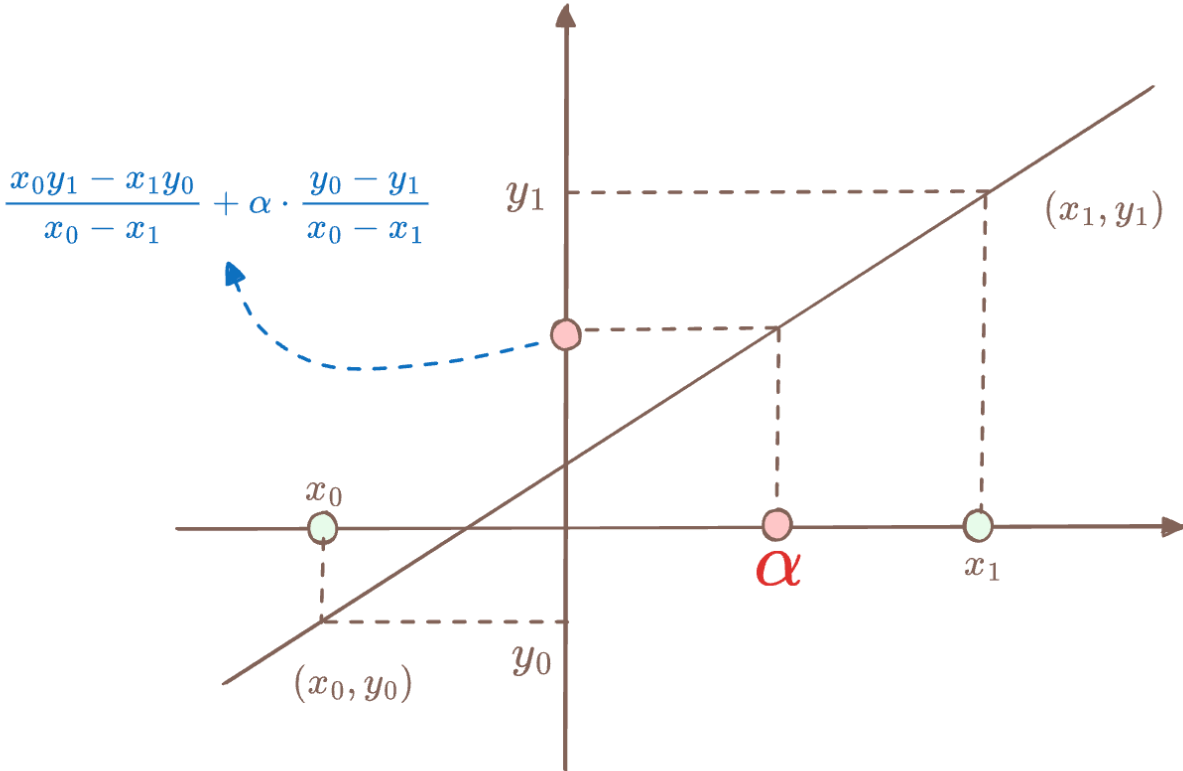
如何理解上面的  $\text{fold}_{\alpha}(\cdot, \cdot)$  函数？其实它是一个多项式插值的过程。我们把待折叠的两排向量看成是在两个 Domain 上的点集，而这两个 Domain 分别递归编码过程中所采用的  $\text{diag}(T_i) = (t_0, t_1, \dots, t_{n_{i-1}-1})$  和  $\text{diag}(T'_i) = (t'_0, t'_1, \dots, t'_{n_{i-1}-1})$ ：

$$\begin{pmatrix} (t_0, c_0), & (t_1, c_1), & \dots, & (t_{i-1}, c_{n_{i-1}-1}) \\ (t'_0, c_{n_{i-1}}), & (t'_1, c_{n_{i-1}+1}), & \dots, & (t'_{i-1}, c_{n_i-1}) \end{pmatrix} \quad (9)$$

然后我们对上面矩阵的每一列在 Domain  $(t_j, t'_j)$  上进行插值，产生一组共  $n_{i-1} = n_i/2$  个多项式，记为  $p_j^{(i-1)}(X)$ ，其中  $0 \leq j < n_{i-1}$ 。然后 Prover 计算  $p_j^{(i-1)}(X)$  在  $X = \alpha_i$  点处的值，这样我们总共可以得到  $n_{i-1}$  个多项式在  $X = \alpha_i$  处的取值，这些取值就作为新的 codeword  $\pi_{i-1}$ 。

这里折叠函数的定义和线性多项式插值过程应该是一致的，我们可以手动推导一下折叠函数的定义的由来。因为这里我们对  $\pi_i$  编码采用的是折半折叠，所以折叠后的 codeword 是有  $n_{i-1}$  个「线性多项式」的求值向量。假设第  $j$  个多项式刻画了一条穿过两个点的直线，两个点为  $(x_0, y_0), (x_1, y_1)$ ，那么这两个点的插值多项式  $p(X)$  可以定义：

$$\begin{aligned} p(X) &= \frac{y_0}{x_0 - x_1}(X - x_1) + \frac{y_1}{x_1 - x_0}(X - x_0) \\ &= \frac{x_0 y_1 - x_1 y_0}{x_0 - x_1} + \frac{y_0 - y_1}{x_0 - x_1} \cdot X \end{aligned} \quad (10)$$



代入  $x_0 = t_j, x_1 = t'_j$ ，还有  $X = \alpha$  我们即可得到上面折叠函数  $\text{fold}_{\alpha}(y_0, y_1)$  的定义

$$\text{fold}_\alpha(y_0, y_1) = p(\alpha) = \frac{t_j \cdot y_1 - t'_j \cdot y_0}{t_j - t'_j} + \frac{y_0 - y_1}{t_j - t'_j} \cdot \alpha \quad (11)$$

如果  $x_0$  和  $x_1$  互为正负数，即  $t_j = -t'_j$ ，那么  $\text{fold}_\alpha(y_0, y_1)$  就变成 FRI 协议中熟悉的定义：

$$\text{fold}_\alpha(y_0, y_1) = \frac{1}{2}(y_0 + y_1) + \alpha \cdot \frac{y_0 - y_1}{2 \cdot t_j} \quad (12)$$

因为我们用折叠函数定义了折叠后 codeword  $\mathbf{c}^{(i-1)}$ ，所以折叠函数定义需要和前面我们采用生成矩阵  $G_{i-1}$  所产生的编码空间保持一致。那么我们继续推理下这个直觉上的关系。假设对于第  $i$  轮，如果  $\mathbf{c}^{(i)}$  确实是  $\mathbf{m}$  的编码，那么根据定义，它会满足下面的 Foldable Codes 的性质：

$$\begin{aligned} \pi_i &= \mathbf{m}G_i \\ &= (\mathbf{m}_l \parallel \mathbf{m}_r) \begin{bmatrix} G_{i-1} & G_{i-1} \\ G_{i-1} \cdot T_{i-1} & G_{i-1} \cdot T'_{i-1} \end{bmatrix} \\ &= \left( \mathbf{m}_l G_{i-1} + \mathbf{m}_r G_{i-1} \circ \text{diag}(T_{i-1}) \right) \parallel \left( \mathbf{m}_l G_{i-1} + \mathbf{m}_r G_{i-1} \circ \text{diag}(T'_{i-1}) \right) \end{aligned} \quad (13)$$

而 Prover 将其对半折叠后，得到的新的 codeword 为：

$$\text{fold}_\alpha(\pi_i) = \left( \text{fold}_\alpha(\pi_i[0], \pi_i[n_{i-1}]), \text{fold}_\alpha(\pi_i[1], \pi_i[n_{i-1} + 1]), \dots, \text{fold}_\alpha(\pi_i[n_{i-1} - 1], \pi_i[n_i - 1]) \right) \quad (14)$$

我们现在验证其中每一个  $\text{fold}_\alpha(\pi_i[j], \pi_i[n_{i-1} + j])$  都是  $\mathbf{m}_l G_{i-1}[j]$  和  $\mathbf{m}_r G_{i-1}[j]$  关于  $\alpha$  的线性组合，

$$\begin{aligned} \text{fold}_\alpha(\pi_i[j], \pi_i[n_{i-1} + j]) &= \frac{1}{t_j - t'_j} \cdot \left( t_j \cdot (\mathbf{m}_l G_{i-1}[j] + t'_j \cdot \mathbf{m}_r G_{i-1}[j]) - t'_j \cdot (\mathbf{m}_l G_{i-1}[j] + t_j \cdot \mathbf{m}_r G_{i-1}[j]) \right) \\ &\quad + \frac{\alpha}{t_j - t'_j} \cdot \left( \mathbf{m}_l G_{i-1}[j] + t_j \cdot \mathbf{m}_r G_{i-1}[j] - \mathbf{m}_l G_{i-1}[j] - t'_j \cdot \mathbf{m}_r G_{i-1}[j] \right) \\ &= \mathbf{m}_l G_{i-1}[j] + \alpha \cdot \mathbf{m}_r G_{i-1}[j] \end{aligned} \quad (15)$$

于是，整个  $\pi_i$  的折叠也等价于  $\mathbf{m}_l G_{i-1}$  和  $\mathbf{m}_r G_{i-1}$  关于  $\alpha$  的线性组合：

$$\text{fold}_\alpha(\pi_i) = \mathbf{m}_l G_{i-1} + \alpha \cdot \mathbf{m}_r G_{i-1} = (\mathbf{m}_l + \alpha \cdot \mathbf{m}_r) G_{i-1} \quad (16)$$

折叠后的 codeword 恰好是  $\mathbf{m}$  关于  $\alpha$  的对半折叠，记为  $\mathbf{m}^{(i-1)}$ ，然后再对其进行  $G_{i-1}$  编码，得到  $\pi_{i-1}$ 。这并不奇怪，因为这个 Foldable Codes 和 Codeword 的递归折叠是一个互逆的过程，所以在折叠后，编码引入的  $T_i$  和  $T'_i$  参数会被消除掉。

下面我们用一个简单的例子来走一遍协议的流程，来看看 Basefold-IOPP 协议的 Commit-phase 是如何运作的。

#### 公共输入

- MLE 多项式  $\tilde{f}$  的 codeword,  $\pi_3 = \text{Enc}_3(\mathbf{f}) = \mathbf{f}G_3$

#### Witness

- MLE 多项式  $\tilde{f}$  的系数向量  $\mathbf{f} = (f_0, f_1, f_2, f_3, f_4, f_5, f_6, f_7)$

第一轮：Verifier 发送随机数  $\alpha_2$

第二轮：Prover 计算  $\pi_2 = \text{fold}_\alpha(\pi_3)$ ，然后发送给 Verifier

计算  $\pi_2$  的过程如下：

$$\pi_2[j] = \text{fold}_\alpha(\pi_3[j], \pi_3[j + 4]), \quad j \in \{0, 1, 2, 3\} \quad (17)$$

计算出的  $\pi_2 = \text{Enc}_2(f^{(2)})$ ，即  $\pi_2$  是  $f^{(2)}$  的 codeword，而  $f^{(2)}$  是  $f$  的关于  $\alpha_2$  的折叠结果：

$$f^{(2)}(X_0, X_1) = f(X_0, X_1, \alpha_2) = (f_0 + f_4 \alpha_2) + (f_1 + f_5 \alpha_2) X_0 + (f_2 + f_6 \alpha_2) X_1 + (f_3 + f_7 \alpha_2) X_0 X_1 \quad (18)$$

第三轮：Verifier 发送随机数  $\alpha_1$

第四轮：Prover 计算  $\pi_1 = \text{fold}_\alpha(\pi_2)$ ，然后发送给 Verifier

计算  $\pi_1$  的过程如下：

$$\pi_1[j] = \text{fold}_\alpha(\pi_2[j], \pi_2[j + 2]), \quad j \in \{0, 1\} \quad (19)$$

计算出的  $\pi_1 = \text{Enc}_1(f^{(1)})$ ，即  $\pi_1$  是  $f^{(1)}$  的 codeword，而  $f^{(1)}$  是  $f^{(2)}$  的关于  $\alpha_1$  的折叠结果：

$$f^{(1)}(X_0) = f(X_0, \alpha_1, \alpha_2) = (f_0 + f_4\alpha_2 + \alpha_1(f_2 + f_6\alpha_2)) + (f_1 + f_5\alpha_2 + \alpha_1(f_3 + f_7\alpha_2))X_0 \quad (20)$$

第五轮：Verifier 发送随机数  $\alpha_0$

第六轮：Prover 计算  $\pi_0 = \text{fold}_\alpha(\pi_1)$ ，然后发送给 Verifier

计算  $\pi_0$  的过程如下：

$$\pi_0[j] = \text{fold}_\alpha(\pi_1[j], \pi_1[j+1]), \quad j = 0 \quad (21)$$

同样  $\pi_0 = \text{Enc}_0(f^{(0)})$ ，即  $\pi_0$  是  $f^{(0)}$  的 codeword，而  $f^{(0)}$  是  $f$  的关于  $(\alpha_0, \alpha_1, \alpha_2)$  的折叠结果：

$$f^{(0)} = f(\alpha_0, \alpha_1, \alpha_2) = f_0 + f_1\alpha_0 + f_2\alpha_1 + f_3\alpha_0\alpha_1 + f_4\alpha_2 + f_5\alpha_0\alpha_2 + f_6\alpha_1\alpha_2 + f_7\alpha_0\alpha_1\alpha_2 \quad (22)$$

到此，Commit-phase 结束，Prover 总共发送了  $(\pi_2, \pi_1, \pi_0)$  给 Verifier。Verifier 收到后，首先验证  $\pi_0$  是否是常数多项式。不过这样还不够，Verifier 还需要验证 Prover 的三次折叠行为都是诚实的。如果验证全部  $\pi_i$  的折叠，Verifier 将会丧失 Succinctness，从而失去验证效率。由于 Proximity Gap 性质，Verifier 只需要少量的验证即可确保  $\pi_i$  是合法的 codeword。

## Query-phase

与 FRI 协议类似，在 Query-phase 阶段，Verifier 要对 Prover 发送的  $(\pi_d, \pi_{d-1}, \dots, \pi_0)$  进行多轮的随机抽查，以确保 Prover 的折叠过程是诚实的。我们下面讨论每一轮的抽查过程。

Verifier 会在  $\pi_d$  中随机选择一个位置  $\mu$  并发送给 Prover，注意  $0 \leq \mu < n_{d-1}$ ，其中  $n_{d-1}$  只有  $\pi_d$ 。Prover 打开  $\pi_d[\mu]$  和  $\pi_d[\mu + n_{d-1}]$  这两点，同时将折叠后的 codeword  $\pi_{d-1}$  中位置为  $\mu$  的值，即  $\pi_{d-1}[\mu]$  一起发送给 Verifier，再加上这三个点的 Merkle Path。

Verifier 收到后，首先验证这三个点是否对应到  $\pi_d$  和  $\pi_{d-1}$  的 codeword 上，然后验证它们三者是否满足折叠关系：

$$\pi_{d-1}[\mu] \stackrel{?}{=} \text{fold}_{\alpha_{d-1}}(\pi_d[\mu], \pi_d[\mu + n_{d-1}]) \quad (23)$$

只验证  $\pi_d$  到  $\pi_{d-1}$  的折叠关系是不够的，Verifier 还要验证  $\pi_{d-1}$  到  $\pi_0$  的所有折叠关系。Prover 还要发送  $\pi_{d-1}$  到  $\pi_{d-2}$  的点。这里 Verifier 不用重新选择随机数，而是继续使用  $\mu$ ，因为在下一轮折叠中， $\pi_{d-1}[\mu]$  这个位置将要和另一个对称的点进行关于  $\alpha_{d-2}$  的折叠，具体是哪个位置的点，需要分情况讨论。如果  $\mu < n_{d-2}$ ，那么  $\pi_{d-1}[\mu + n_{d-2}]$  就是对称点；如果  $\mu \geq n_{d-2}$ ，那么  $\pi_{d-1}[\mu - n_{d-2}]$  就是对称点。我们假设  $\mu \geq n_{d-2}$ ，那么 Prover 就发送  $\pi_{d-1}[\mu - n_{d-2}]$  和它的 Merkle Path 给 Verifier。以便 Verifier 验证  $\pi_{d-1}$  到  $\pi_{d-2}$  的折叠关系。

这样一来，Verifier 只需要给一个随机数  $\mu$ ，就可以验证从  $\pi_d$  到  $\pi_0$  的所有折叠关系。这样的验证过程就是一轮。

为了将可靠性提升到一个足够的高度，Verifier 要进行多轮，确保 Prover 没有作弊空间。Query-phase 正是利用了 Proximity Gap 这一特性。Prover 篡改后的 codeword 大概率距离合法的编码空间比较远，这样 Verifier 只需要少量的抽样次数即可发现作弊行为。

## 总结

本文描述了下 Basefold-IOPP 协议的 Commit-phase 和 Query-phase 的框架。这个框架是对 FRI 协议的一个泛化和扩展，从 RS-Code 扩展到了任何的 Foldable Linear Codes。但是请注意，Basefold 并不支持 Degree 大于 2 的 codeword 折叠。这样由于 Basefold-IOPP 协议不仅仅要完成 Proximity Testing，还要提供一个 MLE 多项式的运算结果。这将是本系列文章的下一篇。

## References

- [ZCF23] Hadas Zeilberger, Binyi Chen, and Ben Fisch. "BaseFold: efficient field-agnostic polynomial commitment schemes from foldable codes." Annual International Cryptology Conference. Cham: Springer Nature Switzerland, 2024.
- [BCIKS20] Eli Ben-Sasson, Dan Carmon, Yuval Ishai, Swastik Kopparty, and Shubhangi Saraf. Proximity Gaps for Reed-Solomon Codes. In *Proceedings of the 61st Annual IEEE Symposium on Foundations of Computer Science*, pages 900–909, 2020.